

① RÉPUBLIQUE FRANÇAISE  
INSTITUT NATIONAL  
DE LA PROPRIÉTÉ INDUSTRIELLE  
PARIS

⑪ N° de publication :  
(à n'utiliser que pour les  
commandes de reproduction)

**2 844 361**

⑫ N° d'enregistrement national : **02 11391**

⑤ Int Cl<sup>7</sup> : G 01 S 13/93

⑫

**DEMANDE DE BREVET D'INVENTION**

**A1**

⑫ Date de dépôt : 10.09.02.

③ Priorité :

④ Date de mise à la disposition du public de la  
demande : 12.03.04 Bulletin 04/11.

⑥ Liste des documents cités dans le rapport de  
recherche préliminaire : *Se reporter à la fin du  
présent fascicule*

⑥ Références à d'autres documents nationaux  
apparentés :

⑦ Demandeur(s) : *THALES Société anonyme* — FR.

⑦ Inventeur(s) : ARTIS JEAN PAUL, CHAURE  
CHRISTIAN, CHEREL SYLVAIN et MAYEUX XAVIER.

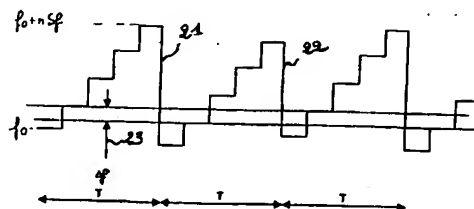
⑦ Titulaire(s) :

⑦ Mandataire(s) : THALES "INTELLECTUAL PRO-  
PERTY".

⑤ PROCÉDE D'ELARGISSEMENT DE LA DISTANCE NON AMBIGUE DANS LES RADARS A FSK.

⑤ La présente invention concerne un procédé permettant d'élargir le domaine d'ambiguïté des radars à FSK. Ce procédé met en oeuvre une forme d'onde composée de motifs composés de paliers de fréquence dont les fréquences sont alternativement décalées en plus et en moins d'une valeur  $\Delta f$ . A cette forme d'onde le procédé selon l'invention associe des traitements d'élimination des échos ambigus et d'élimination de signaux images. Ce procédé présente comme avantage de ne pas modifier la période de répétition du radar auquel il est appliqué.

Le procédé selon l'invention s'applique notamment aux radars équipant les véhicules automobiles et en particulier aux radars anticollision.



BEST AVAILABLE COPY  
FR 2 844 361 - A1



Le principe d'émission des radar dit à FSK est un principe connu. Il consiste, comme le montre la figure 1, à émettre un motif répétitif, constitué d'une onde modulée en fréquence par paliers.

En outre, si T est la période de répétition du motif, on définit de manière connue la distance ambiguë D, par la formule :

$$D = \frac{C \cdot T}{2} \quad (1)$$

De façon générale le bilan de liaison d'un radar est dimensionné de sorte que pour la majorité des types cibles rencontrés, le signal rétrodiffusé par des cibles situées au delà de la distance d'ambiguïté ait une puissance inférieure au seuil de détection du radar. Néanmoins dans certaines circonstances particulières il est possible que le signal rétrodiffusé par des cibles situées au-delà de cette distance dépassent le seuil de détection. C'est par exemple le cas quand le radar se trouve suivant un angle privilégié. On obtient alors en sortie du récepteur du radar, des échos ayant des positions erronées et qu'il faut ensuite éliminer.

Pour limiter ces échos indésirables on est conduit à augmenter la distance d'ambiguïté du radar en augmentant la période T de répétition du motif émis. Augmenter T revient notamment à augmenter le nombre de paliers ou encore à en allonger la durée.

Cette solution n'est toutefois pas toujours applicable car le dimensionnement des divers paramètres du radar est généralement le fruit d'un compromis sur la forme de l'onde émise, qui conduit par exemple à limiter le nombre de paliers ou bien encore leur durée.

La présente invention a notamment pour but de résoudre le problème posé par le besoin d'augmenter la distance d'ambiguïté sans pour autant allonger la période T. A cet effet l'invention a pour objet un procédé de génération d'une forme d'onde permettant avantageusement de doubler la distance d'ambiguïté d'un radar à FSK sans doubler la durée T du motif émis.

Ce procédé présente l'avantage de générer une onde très proche de la forme d'onde initialement déterminée pour optimiser le fonctionnement du radar.

- 5   Avantageusement il est particulièrement adapté aux radars automobiles pour lesquels le temps de propagation de l'onde correspondant au domaine de portée instrumentée du radar est faible devant la durée des paliers de fréquence composant le motif.
- 10 D'autres caractéristiques et avantages apparaîtront au travers de la description qui suit. Cette description est réalisée en regard des figures qui sont annexées et qui représentent :

La figure 1, La représentation graphique d'un exemple de  
15 forme d'onde émise par un radar à FSK.

La figure 2, La représentation graphique de forme d'onde mise en œuvre par le procédé selon l'invention.

La figure 3, L'illustration de la représentation spectrale d'un écho correspondant à la forme d'onde selon l'invention, rétrodiffusée par une  
20 cible.

La figure 4, Une représentation vectorielle du signal reçu

La figure 5, L'illustration au travers d'un exemple de simulation d'un traitement possible d'ambiguïté distance sur le signal reçu.

La figure 6, La représentation graphique en fonction de la  
25 distance de l'écho, du gain obtenu sur la raie utile et du gain obtenu sur la raie image.

La figure 7, L'illustration d'un exemple d'application combinée de critères de levée d'ambiguïté distance et de suppression de la raie image.

30

La figure 1 donne la représentation graphique d'une forme d'onde FSK standard.

On constate que l'onde émise se présente comme une répétition de motifs  
11 de durée  $T$ , dont la fréquence varie de  $f_0$  à  $f_0 + n \cdot \delta f$  suivant  $n$  paliers  
35 fréquence, par exemple de durées égales.

Comme il a été dit précédemment, la distance d'ambiguïté est dans ce cas égale à  $\frac{C.T}{2}$ . Ainsi, par exemple, Un radar à FSK, émettant avec un période T de 12  $\mu$ s aura une distance de détection ambiguë de 1.8 Km.

- 5 La figure 2 donne la représentation graphique de la forme d'onde mise en œuvre par le procédé selon l'invention.
- On constate que comme dans le cas de la figure 1, l'onde émise se présente comme une succession de motifs. Cependant, dans le cas de l'invention la succession est double. En effet, un motif 21 sur deux est un motif de durée
- 10 T dont la fréquence varie de  $f_0$  à  $f_0 + n.\delta f$  suivant n paliers, tandis que le motif suivant 22 est un motif dont la fréquence varie par exemple de  $(f_0 - \Delta f)$  à  $(f_0 - \Delta f) + n.\delta f$ . On forme ainsi un motif complexe dont la périodicité est 2.T en décalant un motif par rapport au motif suivant alternativement de  $+\Delta f$  puis de  $-\Delta f$ .
- 15 L'écart de fréquence  $\Delta f$  23 est avantageusement choisi de telle sorte qu'il soit suffisamment fort de façon à induire sur l'écho d'une cible située au-delà de la distance d'ambiguïté une rotation de phase suffisante pour pouvoir être détecté comme tel et éliminé par les moyens de traitement du signal qui équipent le radar. De même cet écart est choisi suffisamment faible pour ne
- 20 pas modifier sensiblement les caractéristiques de détection des échos provenant de cibles non ambiguës en distance et en particulier pour ne pas en modifier le niveau.
- A titre d'exemple on peut considérer une forme d'onde comportant des motifs de durée  $T = 12 \mu$ s, composés 5 paliers régulièrement espacés d'environ
- 25 160 KHz avec un écart de fréquence  $\Delta f$  d'environ 100 KHz.

L'emploi d'une telle forme d'onde présente notamment pour avantage de doubler la distance d'ambiguïté en considérant la périodicité double créée par l'alternance des motifs à  $f_0$  et  $f_0 + \Delta f$ . Ainsi, lors de sa réception par le

30 radar, un écho lointain sera démodulé avec la fréquence du motif en cours, décalée de  $\Delta f$  par rapport à sa propre fréquence. Cette différence va se traduire au niveau du signal reçu par un déphasage permettant d'identifier ce signal comme provenant d'un écho ambigu en distance et de l'éliminer par traitement.

La représentation de la figure 3, permet de visualiser les effets induits sur le spectre d'un écho non ambigu en distance, provenant d'une cible illuminée par la forme d'onde selon l'invention.

On constate qu'en plus de la raie caractéristique de l'écho qui se situe à la  
 5 fréquence doppler  $F_d$  31 on trouve une raie d'intermodulation 32 de fréquence  $f_{di}$ . La fréquence  $f_{di}$  est située à l'intérieur du domaine fréquentiel compris entre 0 et  $\frac{1}{2T}$  correspondant au domaine des fréquences doppler non ambiguës.

Des calculs menés par ailleurs montrent qu'elle est la fréquence symétrique  
 10 de la fréquence  $F_d$  par rapport à  $\frac{1}{4T}$ . On a :

$$f_{di} = \frac{1}{2T} - f_d \quad (2)$$

Ainsi, la valeur de  $F_{di}$  est parfaitement connue.

15

L'utilisation d'une forme d'onde selon l'invention, telle que celle décrite par la figure 2, permet d'allonger la distance d'ambiguïté et de déterminer en fonction de la valeur de la phase du signal reçu, si un écho reçu est bien vu à la bonne distance. Pour lever l'ambiguïté, plusieurs types  
 20 de traitement connus par ailleurs et non décrits ici sont envisageables. La figure 4 illustre un exemple possible de traitement permettant de lever l'ambiguïté en distance d'un écho reçu dans le cas d'une émission FSK. Ce procédé est notamment décrit dans le brevet français 96 15740.

25 La figure 4 est une représentation vectorielle après analyse doppler, du signal reçu pour quatre fréquences correspondant à quatre des  $n$  paliers de fréquence composant un motif. Sur la figure, les vecteurs  $F_1$  41 à  $F_4$  44 correspondent ainsi aux représentations vectorielles des signaux résultant de l'analyse des échantillons issus des paliers de fréquence correspondants.

30

Pour savoir si le signal reçu présente une ambiguïté en distance on peut, s'agissant d'une onde FSK, appliquer par exemple aux vecteurs  $F_1$  à  $F_4$  des opérateurs d'estimation distance FSK usuels. Ces opérateurs, dans le cas où

l'émission se fait par paliers équidistants de  $\delta f$  en fréquence, peuvent notamment s'exprimer comme suit :

$$D_{12/23} = (C/4\pi\delta f) \cdot \phi [(F_2-F_1), (F_3-F_2)] = C/4\pi\delta f \phi_{12/23} \quad (3)$$

$$D_{13/24} = (C/4\pi\delta f) \cdot \phi [(F_3-F_1), (F_4-F_2)] = C/4\pi\delta f \phi_{13/24} \quad (4)$$

$$D_{23/34} = (C/4\pi\delta f) \cdot \phi [(F_3-F_2), (F_4-F_3)] = C/4\pi\delta f \phi_{23/34} \quad (5)$$

Où  $\phi_{12/23}$ ,  $\phi_{13/24}$  et  $\phi_{23/34}$  représentent les rotations de phase correspondant au déplacement de la cible.

10

Pour une cible située dans le domaine de validité des mesures effectuées, notamment en ce qui concerne la durée du temps de propagation par rapport à celle des paliers de fréquence du motif, ces opérateurs permettent de déterminer la distance de la cible. Le principe de cette détermination est notamment exposé dans le brevet français 96 15740.

15

Pour déterminer ensuite si la cible est ou non ambiguë on peut par exemple appliquer aux valeurs  $D_{12/23}$ ,  $D_{13/24}$  et  $D_{23/34}$  calculées, le critère de validité suivant :

20

$$D_{12/23} \text{ et } D_{13/24} \text{ et } D_{23/34} < D_0 \quad (6)$$

$$(D_{12/23} - D_{23/34}) \text{ et } (D_{13/24} - D_{23/34}) \text{ et } (D_{12/23} - D_{13/24}) < D_1 \quad (7)$$

Où les distances  $D_0$  et  $D_1$  sont choisis en fonction des capacités de détection souhaitées.

25

Comme cela est notamment mentionné dans le brevet français 97 02547, ce critère de validité permet en particulier de bénéficier d'une réduction du niveau de bruit sur le signal consécutive aux calculs de différences entre canaux.

30

Le type de traitement des ambiguïtés distance présenté à titre d'exemple dans ce qui précède est applicable à tous les signaux obtenus par émission FSK. Il s'applique en particulier avantageusement à la forme d'onde selon l'invention.

35

Au travers de graphiques 5a et 5b la figure 5 illustre au travers d'un exemple de simulation, l'application d'un traitement d'ambiguïté distance tel que décrit précédemment au signal reçu sur une portée de 3.5 Km. Dans  
5 cet exemple on a choisi  $D_0 = 200$  m,  $D_1 = 30$  m et une forme d'onde selon l'invention, pour laquelle  $\Delta f = 75$  KHz.

Le graphique 5a présente les courbes 51, 52 et 53 de variation de la distance mesurée par les différents opérateurs distance FSK D12/23 et D13/24 et  
10 D23/34, en fonction de la distance réelle de l'écho reçu par le radar.

On constate que pour une distance comprise entre 0 m et environ 500 m les trois opérateurs donnent une distance mesurée identique. Ensuite, au delà de 500 m et jusqu'environ 3500 m, il n'est plus possible d'obtenir une identité des trois valeurs. Le critère de validité va donc permettre d'éliminer par  
15 traitement tout écho dont la distance réelle sera supérieure à 200 m et inférieure à 3500 m. C'est ce que traduit le graphique 5b qui montre la courbe 54 correspondant à la valeur de validité accordée, en fonction de la distance réelle de l'écho reçu, à la valeur mesurée. On constate qu'entre 0 et 200 m le critère de validité conduit à attribuer la valeur 1 à la non-ambiguïté  
20 de la distance mesurée, tandis qu'au-delà et jusqu'environ 3500 m on lui attribue la valeur 0. Au-delà de 3500 m en revanche, la levée d'ambiguïté à l'aide de ce critère redevient impossible.

Au travers de la figure 5, on peut avantageusement constater que la validité  
25 des opérateurs distance FSK n'est pas affectée par l'emploi d'une forme d'onde selon l'invention. D'autre part, on peut également constater que l'emploi d'une forme d'onde selon l'invention permet bien de quasiment doubler la distance d'ambiguïté qui avec une forme d'onde FSK classique aurait été de 1800 m.

30

L'illustration de la figure 5 montre donc bien que, grâce à l'emploi de la forme d'onde décrite dans ce qui précède, et en utilisant des traitements classiques de levée des ambiguïtés distance, employés pour traiter les signaux issus d'une onde FSK, Le procédé selon l'invention permet donc avantageusement

de doubler la distance d'ambiguïté sans changer la période  $T$  de répétition des motifs et donc sans changer les paramètres de détection souhaités.

Sur le graphique de la figure 6 sont représentées les courbes 61 et 62 donnant respectivement pour une distance donnée et pour l'exemple pris dans la figure 5, les gains de traitement obtenus sur le signal réel reçu (raie utile) et sur le signal issu de l'écart de fréquence  $\Delta f$  séparant deux motifs consécutifs de la forme d'onde selon l'invention (raie image). On constate sur cette figure que pour une distance inférieure à environ 500 m le gain sur la raie utile est constamment supérieur au gain sur la raie image alors qu'ensuite cela peut être le contraire. Cette constatation peut être mise à profit pour déterminer de manière systématique si le signal analysé est un écho non ambigu réel ou bien le signal image qui lui est attaché. Pour ce faire, une solution consiste par exemple à identifier les signaux provenant d'échos non ambigus dont les fréquences doppler forment des paires ( $F_d$ ,  $F_{di}$ ) et à comparer la différence des gains obtenus sur chacun des signaux à une valeur utilisée comme critère. Le principe est alors par exemple le suivant :

- On choisit une raie située à la fréquence  $F_u$  et on relève le gain  $G_u$  correspondant.
  - On identifie la raie supposée être la raie image : celle-ci est située à  $1/2T - F_u$ . Soit  $F_i$  sa fréquence et  $G_i$  son gain.
  - On applique le critère de gain :  $G_u - G_i > G_0$ , les gains étant exprimés en dB.
- Deux cas sont alors à envisager
- $G_u - G_i > G_0$  est vrai et alors  $F_u$  est bien le signal utile correspondant à un écho réel non ambigu en distance.  $F_i$  correspond bien alors au signal image à éliminer.
  - $G_u - G_i > G_0$  est faux et c'est alors  $F_u$  qui représente le signal image à éliminer, le signal  $F_i$  correspondant à l'écho réel non ambigu en distance.

On peut ainsi dans la zone sans ambiguïté distance, éliminer de manière simple les échos images indésirables.



- La figure 7 illustre au travers des graphiques 7a et 7b un exemple d'application combinée de critères de levée d'ambiguïté distance et de suppression de la raie image. Les critères sont ici appliqués à une simulation du signal image avec, comme dans le cas de la figure 5,  $D_0 = 200$  m,  $D_1 = 30$  m et une forme d'onde selon l'invention, pour laquelle  $\Delta f = 75$  KHz.
- Le graphique 7a représente à la manière du graphique 5a les courbes 71, 72 et 73 de variation de la distance mesurée par les différents opérateurs distance FSK usuels D12/23 et D13/24 et D23/34 appliqués aux signaux images, en fonction de la distance réelle de l'écho reçu par le radar. Comme sur le graphique 5a, on constate que pour une distance comprise entre 0 m et environ 500 m les trois opérateurs donnent une distance mesurée identique. Ensuite, au-delà de 500 m et jusqu'environ 3500 m, il n'est plus possible d'obtenir une identité des trois valeurs.
- Le graphique 7b quant à lui qui représente comme le graphique 5b la courbe 74 correspondant à la valeur de validité accordée à la non-ambiguïté du signal présent, en fonction de la distance réelle de l'écho reçu, à la valeur mesurée. Cependant il représente également la courbe 75 correspondant à la valeur de validité accordée à la réalité du même signal en fonction de la distance.
- En étudiant le graphique 7b, on peut ainsi constater qu'un traitement combinant les effets des deux critères permet avantageusement de déterminer les signaux qui correspondent à des échos provenant d'objets situés dans la zone non ambiguë en distance. Le même traitement peut donc également éliminer les autres signaux.
- Le procédé décrit dans ce document s'applique avantageusement aux radars à FSK et en particulier aux radars équipant des véhicules automobiles notamment dans le domaine de l'anticollision.

**REVENDICATIONS**

- 5 1. Procédé d'extension du domaine d'ambiguïté en distance d'un radar à FSK, ce radar émettant une forme d'onde comportant des motifs composés eux-mêmes d'au moins quatre paliers de fréquence, caractérisé en ce que les fréquences des paliers composant les motifs sont alternativement décalées en plus ou en moins d'une valeur  $\Delta f$  en plus ou en moins ( $\pm \Delta f$ ) par rapport aux fréquences des paliers du motif précédant.

1/9

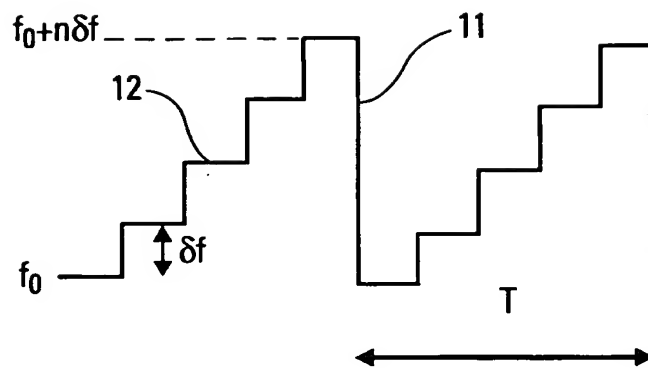


Fig. 1

2/9

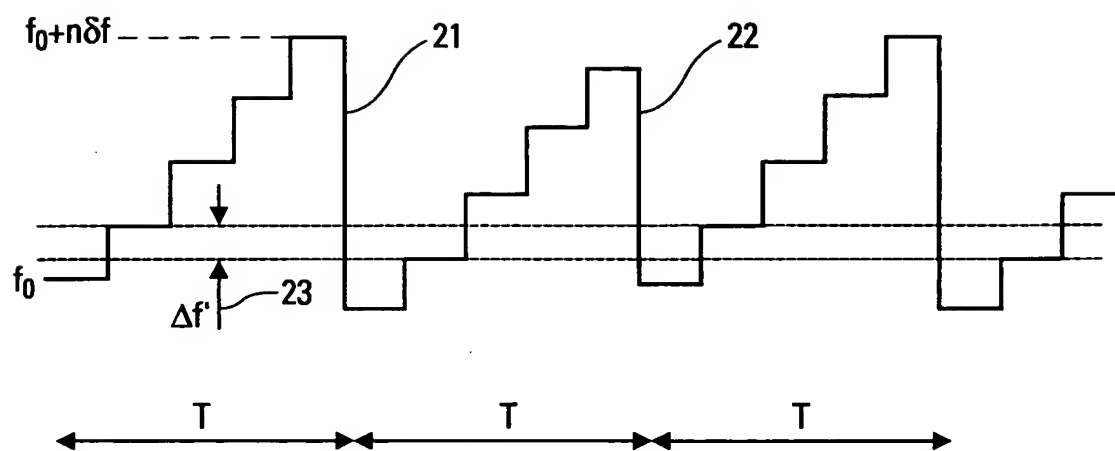


Fig. 2

3/9

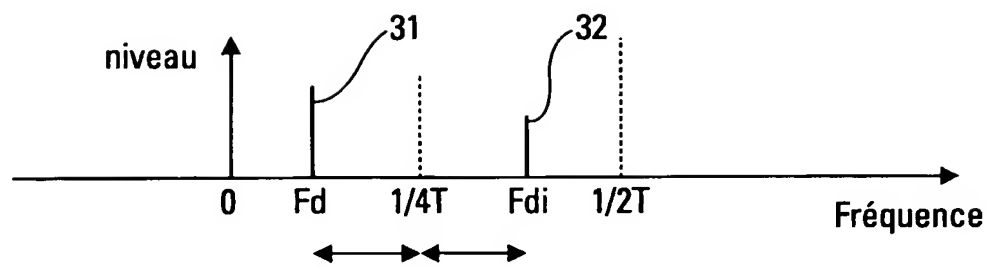


Fig. 3

4/9

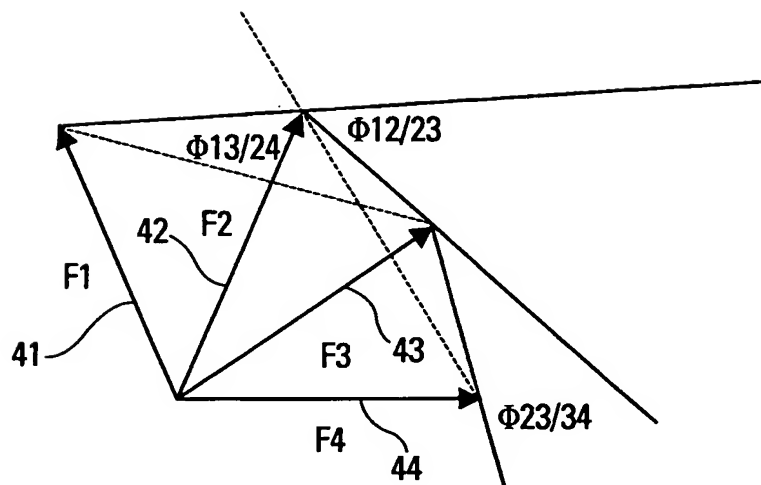


Fig. 4

5/9

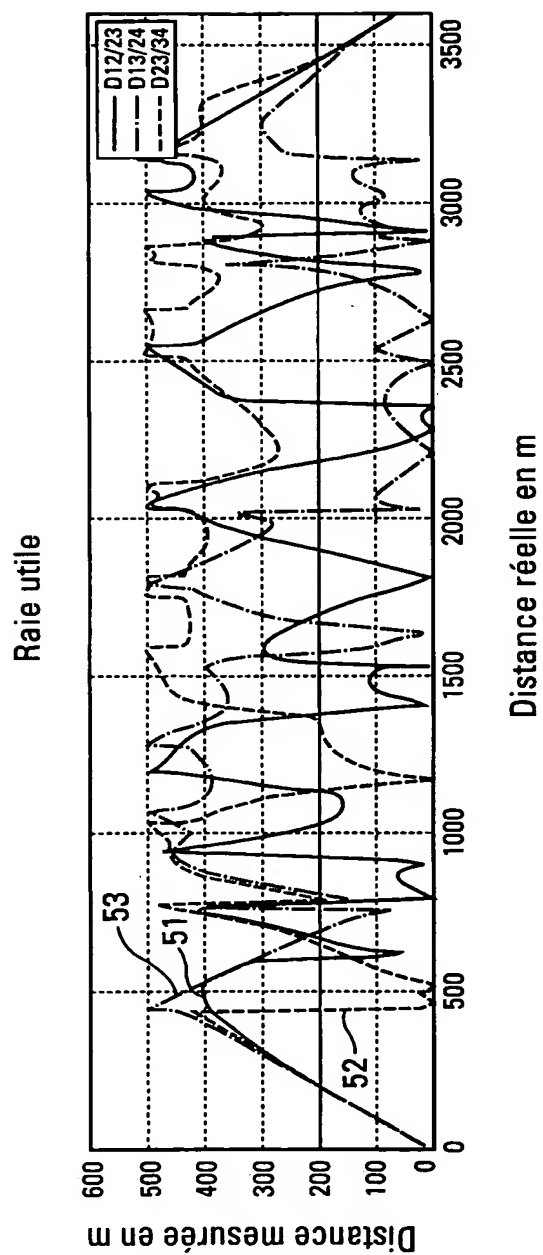


Fig. 5a

6/9

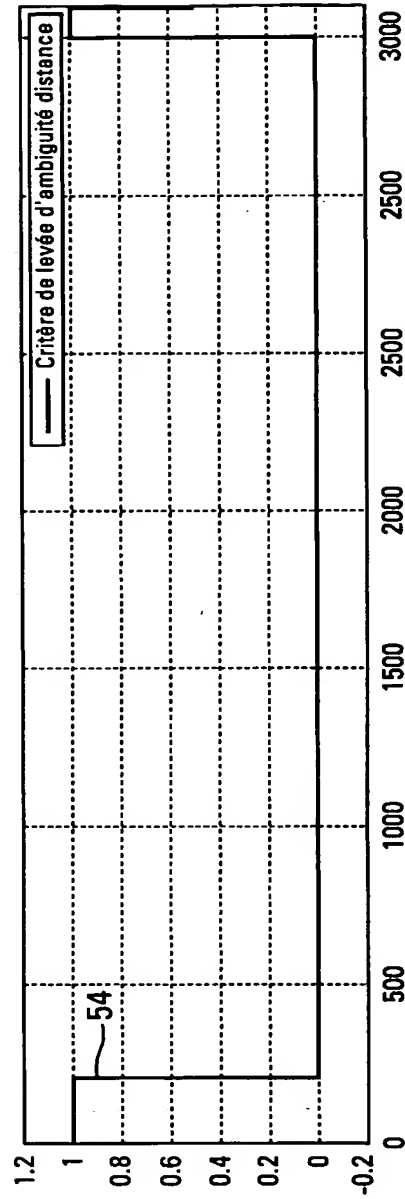


Fig. 5b



7/9

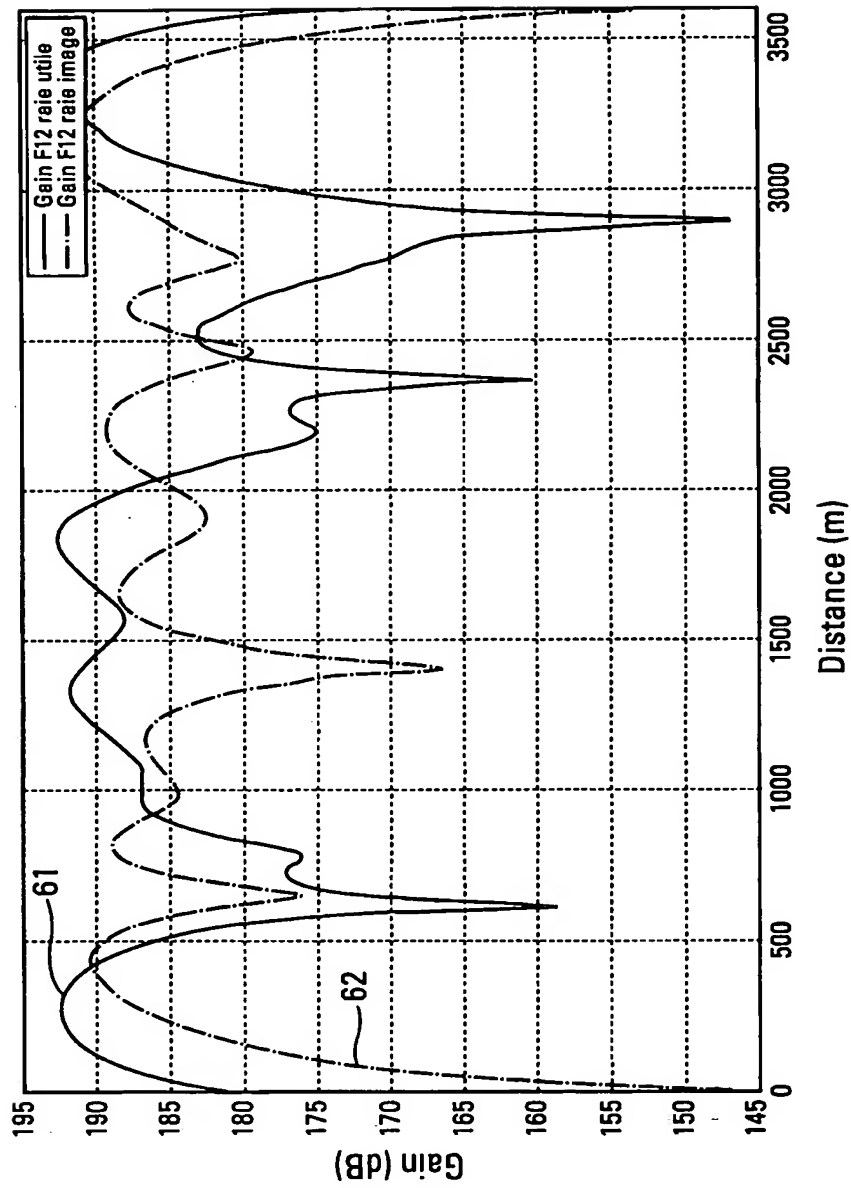


Fig. 6

8/9

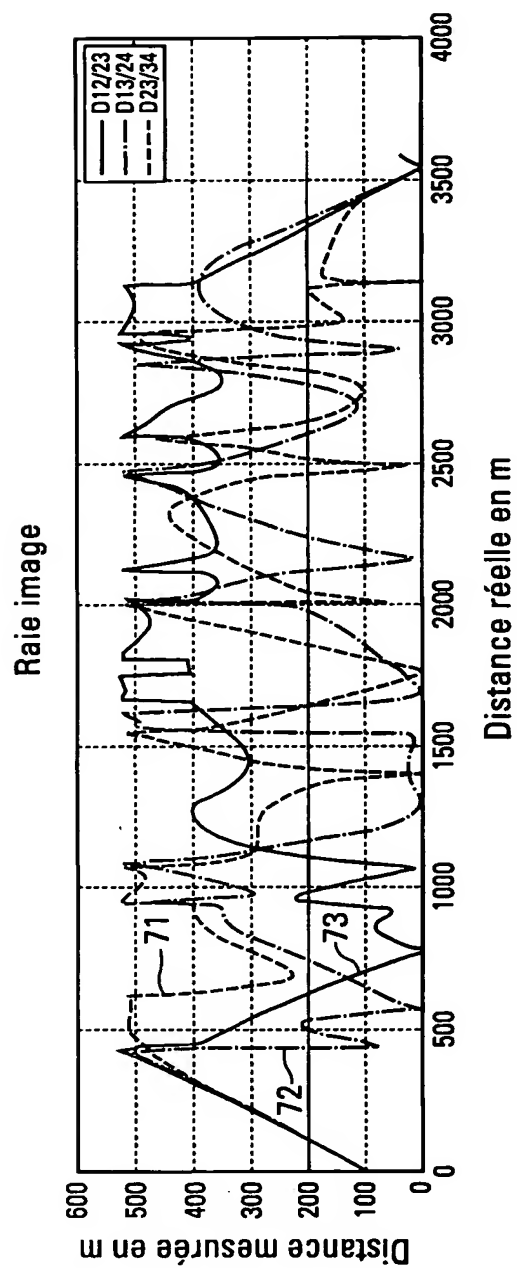


Fig. 7a

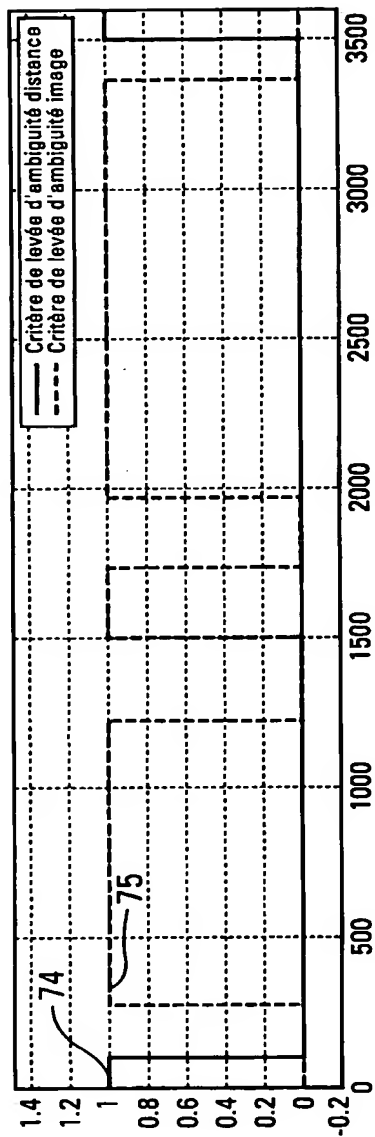


Fig. 7b



# **RAPPORT DE RECHERCHE PRÉLIMINAIRE**

établi sur la base des dernières revendications  
déposées avant le commencement de la recherche

N° d'enregistrement  
national

FA 628181  
FR 0211391

DOCUMENTS CONSIDÉRÉS COMME PERTINENTS		Revendication(s) concernée(s)	Classement attribué à l'invention par l'INPI
Catégorie	Citation du document avec indication, en cas de besoin, des parties pertinentes		
A	GB 2 172 461 A (PHILIPS ELECTRONIC ASSOCIATED) 17 septembre 1986 (1986-09-17) * abrégé * * page 3, ligne 26 - page 10, ligne 10; figures 1-4 *	1	G01S13/93
A	US 4 443 799 A (RUBIN WILLIAM L) 17 avril 1984 (1984-04-17) * abrégé * * colonne 3, ligne 26 - colonne 7, ligne 17; figures 1-5 *	1	
A	US 4 379 295 A (LEWIS BERNARD L ET AL) 5 avril 1983 (1983-04-05) * abrégé * * colonne 3, ligne 34 - colonne 7, ligne 44; figures 1-5 *	1	
A	GB 2 249 448 A (ROKE MANOR RESEARCH) 6 mai 1992 (1992-05-06) * abrégé * * page 3, ligne 34 - page 5, ligne 12; figures 1,2 *	1	
A	US 4 384 291 A (LEWIS BERNARD L ET AL) 17 mai 1983 (1983-05-17) * abrégé * * colonne 4, ligne 12 - colonne 11, ligne 18; figures 1-5 *	1	
A,D	EP 0 863 408 A (THOMSON CSF) 9 septembre 1998 (1998-09-09)		
A,D	EP 0 849 607 A (THOMSON CSF) 24 juin 1998 (1998-06-24)		
			<b>DOMAINES TECHNIQUES RECHERCHÉS (Int.Cl.7)</b>
			G01S
Date d'achèvement de la recherche		Examineur	
21 mai 2003		Blondel, F	
<b>CATÉGORIE DES DOCUMENTS CITÉS</b> X : particulièrement pertinent à lui seul Y : particulièrement pertinent en combinaison avec un autre document de la même catégorie A : arrière-plan technologique O : divulgation non-écrite P : document intermédiaire T : théorie ou principe à la base de l'invention E : document de brevet bénéficiant d'une date antérieure à la date de dépôt et qui n'a été publié qu'à cette date de dépôt ou qu'à une date postérieure. D : cité dans la demande L : cité pour d'autres raisons & : membre de la même famille, document correspondant			

**ANNEXE AU RAPPORT DE RECHERCHE PRÉLIMINAIRE  
RELATIF A LA DEMANDE DE BREVET FRANÇAIS NO. FR 0211391 FA 628181**

La présente annexe indique les membres de la famille de brevets relatifs aux documents brevets cités dans le rapport de recherche préliminaire visé ci-dessus.  
Les dits membres sont contenus au fichier informatique de l'Office européen des brevets à la date du **21-05-2003**  
Les renseignements fournis sont donnés à titre indicatif et n'engagent pas la responsabilité de l'Office européen des brevets, ni de l'Administration française

Document brevet cité au rapport de recherche		Date de publication	Membre(s) de la famille de brevet(s)		Date de publication
GB 2172461	A	17-09-1986	AUCUN		
US 4443799	A	17-04-1984	AUCUN		
US 4379295	A	05-04-1983	AUCUN		
GB 2249448	A	06-05-1992	AUCUN		
US 4384291	A	17-05-1983	AUCUN		
EP 0863408	A	09-09-1998	FR	2760535 A1	11-09-1998
			EP	0863408 A1	09-09-1998
			JP	10253751 A	25-09-1998
			US	5955985 A	21-09-1999
EP 0849607	A	24-06-1998	FR	2757639 A1	26-06-1998
			DE	69714956 D1	02-10-2002
			DE	69714956 T2	24-04-2003
			EP	0849607 A1	24-06-1998
			ES	2183108 T3	16-03-2003
			JP	10197626 A	31-07-1998
			US	5923284 A	13-07-1999

4-2-0

**This Page is Inserted by IFW Indexing and Scanning  
Operations and is not part of the Official Record**

**BEST AVAILABLE IMAGES**

Defective images within this document are accurate representations of the original documents submitted by the applicant.

Defects in the images include but are not limited to the items checked:

- ☐ BLACK BORDERS
- ☐ IMAGE CUT OFF AT TOP, BOTTOM OR SIDES
- ☐ FADED TEXT OR DRAWING
- ☐ BLURRED OR ILLEGIBLE TEXT OR DRAWING
- ☐ SKEWED/SLANTED IMAGES
- ☐ COLOR OR BLACK AND WHITE PHOTOGRAPHS
- ☐ GRAY SCALE DOCUMENTS
- ☐ LINES OR MARKS ON ORIGINAL DOCUMENT
- ☒ REFERENCE(S) OR EXHIBIT(S) SUBMITTED ARE POOR QUALITY
- ☐ OTHER: \_\_\_\_\_

**IMAGES ARE BEST AVAILABLE COPY.**

**As rescanning these documents will not correct the image problems checked, please do not report these problems to the IFW Image Problem Mailbox.**